

## یک رویکرد جدید مبتنی بر الگوریتم ژنتیک چند هدفه برای کنترل بهینه ولت-وار روزانه شبکه‌های توزیع، هماهنگ شده با تولید پراکنده با کمترین عملکرد سوییچینگ ادوات کنترلی

عباس شریفی<sup>۱</sup>، رضا قاضی<sup>۲</sup>

<sup>۱</sup>دانشگاه فردوسی مشهد، .com.ashna82176@gmail.com

<sup>۲</sup>دانشگاه فردوسی مشهد، rghazi@um.ac.ir

چکیده - امروزه با تنوع شرایط بهره برداری و همچنین نصب تعداد زیادی منابع تولید پراکنده در سیستم‌های توزیع مدرن، مدل سنتی کنترل ولت-وار، تضمین کننده حاشیه‌ای امن برای پروفیل ولتاژ باس‌ها در مقابل تغییرات تند ولتاژ نیست. با افزودن پروفیل ولتاژ به تابع هدف، گرچه مساله حاشیه‌امنیت ولتاژ تا حدودی فراهم می‌شود لیکن منجر به عملکرد اضافی ادوات کنترلی خواهد شد. در این مقاله یک مدل جدید کنترل ولت-وار با هدف بهبود پروفیل ولتاژ و حداقل کردن تلفات توان اکتیو کل شبکه توزیع در کمترین عملکرد سوییچینگ تجهیزات، ارائه شده است. به منظور نمایش توانایی الگوریتم، شبیه سازی روی یک شبکه توزیع با تولید پراکنده از نوع توربین بادی (ژنراتور کلید واژه- تعداد عملکرد سوییچینگ ادوات کنترل، شبکه توزیع، کنترل ولت-وار روزانه

شده پیش‌بینی شود<sup>[۱]</sup>.

در مراجع [۲]-[۴] به مساله کنترل زمان واقعی خازن، [۵]-

[۷] جایابی و کنترل زمان واقعی خازن و [۸]-[۱۱] کنترل هماهنگ خازن‌ها و تپ چنجرهای زیر بار به منظور مینیمم کردن تلفات رسیدگی شده است.

در [۲] استفاده از شبکه‌های عصبی (NN)، در [۳] برنامه ریزی دینامیکی (DP) و در [۴] برای فائق آمدن به مسئله زمانبر بودن روش DP، یک استراتژی NN برای کمک به DP پیشنهاد شده است. در [۵] از تکنیک بهینه سازی آبکاری فلزات (SA)، در [۶] از SA برای جایابی و از الگوریتم ژنتیک (GA) برای تعیین انتخاب بهینه خازن‌ها استفاده شده است. GA بار محاسباتی کمتری نسبت به SA دارد. در [۷] نیز از برنامه ریزی عدد صحیح استفاده شده است. اجرای ادوات کنترل پیوسته جبرانسازی توان راکتیو مثل جبرانساز وار استاتیکی (SVC) در یک پست توزیع

### ۱- مقدمه

کاربرد سیستم مدیریت توزیع مرکز در کنترل ولت-وار که به طور سنتی در طراحی سیستم‌های توزیع استفاده می‌شود، فرصت‌های جدیدی را برای بهره برداری و کنترل موثرتر سیستم‌های توزیع ایجاد می‌کند. کنترل ولت-وار اساساً تنظیم کنترلهای اتوماتیک محلی برای رسیدگی به شرایط بهره برداری مدرن است که توانایی برای بهره برداری سیستم در محدوده بهینه را فراهم می‌کند. هدف اولیه ولت-وار بهره برداری سیستم توزیع بدون انحراف هیچ یک از محدودیت‌های سیستم است. هنگامی که اولیه برآورده می‌شود، اهداف ثانویه مثل مینیمم کردن تلفات توان، نیاز برای رسیدن به هدف با تعداد مینیمم عمل‌های کنترل در چارچوب مقررات سنتی و اهداف خیلی متفاوتی می‌تواند با حرکت صنعت برق به سمت یک محیط تجدید ساختار

های کنترل معمولی افزایش پیدا کند تغییرات ولتاژ هر گره مشکل ساز خواهد بود. در این مرجع پیشنهاد کنترل بهینه ولتاژ با هماهنگی وسایل کنترل ولتاژ پراکنده، مثل کنترل نسبت تبدیل ترانسفورمر زیر بار، رگولاتور ولتاژ پله ای (SVR)، خازن های موازی، راکتورهای موازی و جبران کننده های وار استاتیکی (SVC) در حضور DG ارائه شده و تابع هدف طوری در نظر گرفته شده است که پروفیل ولتاژ بهبود یابد همچنین تلفات توان نیز در نظر گرفته شده و از ابزار بهینه سازی GA برای حل مسئله استفاده شده است. در این مرجع نوع تولید پراکنده، فتوولتائیک در نظر گرفته شده که توان اکتیو را بسته به میزان دسترس آن یا تقاضا، بدون تقاضای توان راکتیو به شبکه تحویل می دهد. این مدل کنترل ولت-وار، راه حلی عملی برای کنترل ولت-وار روزانه نیست زیرا تعداد عمل های کنترل جهت اجرا در بهره برداری واقعی، بیش از حد بزرگ و بسیاری از این عمل ها بیهوده خواهد بود.

در مقاله حاضر یک مدل جدید کنترل ولت-وار روزانه با هدف بهبود پروفیل ولتاژ و حداقل کردن تلفات توان اکتیو کل شبکه توزیع با کمترین عملکرد سوییچینگ تجهیزات، ارائه شده است. بنابراین با توجه به اینکه کنترل ولت-وار در حداقل عملکرد وسایل سوییچینگ صورت می گیرد از جنبه عملی مفید و قابل پیاده سازی است. شبیه سازی روی یک شبکه توزیع با تولید پراکنده از نوع توربین بادی (ژنراتور القایی) پیاده سازی و مقدار عملیاتی هر وسیله با حل تابع هدف و بهینه سازی روزانه ولتاژ کل سیستم توزیع تعیین می شود. از الگوریتم ژنتیک چند هدفه برای تعیین عملکرد کنترل استفاده شده است. در ادامه این مقاله مدل جدید کنترل بهینه ولت-وار روزانه در بخش دوم، در بخش سوم نتایج شبیه سازی و نتیجه گیری در بخش چهارم ارائه شده است.

## ۲- مدل جدید کنترل بهینه ولت-وار روزانه

### ۱-۱- ساختار و مدل LTC

معمول ترین کنترلر محلی LTC، رگولاتور ولتاژ است که سمت ولتاژ پایین را در ترانسفورمر نزدیک مقدار مطلوب نگه می دارد. این رگولاتور ولتاژ یک بخش جدایی ناپذیر مکانیزم LTC در ترانسفورمر پست (ULTC) و رگولاتور ولتاژ پله ای (SVR) فیدر است. مدل و مدار معادل LTC به ترتیب در شکل های (۱) و (۲) نشان داده شده است.

در [۸] ارائه شده است اما فقط شرایط جاری بارگذاری به منظور تعیین استراتژی کنترل به کار برد شده و برای هماهنگی تپ چنجر زیر بار (LTC) و خازن نیاز به سرمایه گذاری اضافی دارد. در [۹] روشی بر اساس DP ارائه شده است. مرجع [۱۰] NN را پیشنهاد داده و فرض شده مکانیزم سوییچینگ خازن و رگولاتور، هیچ محدودیت فیزیکی ندارند. در [۱۱] رویکردی توسط ارائه DP شده بطوریکه ماکریم مجاز تعداد عملکرد سوییچینگ در نظر گرفته شده است. یک رویکرد برای کنترل ولت-وار در شبکه های توزیع شعاعی نامتعادل با در نظر گرفتن عملکرد تولیدات پراکنده (DG) در [۱۲] ارائه شده است. DG ها به صورت باس PV مدل شده اند که عملکرد آنها با کنترل تپ چنجر زیر بار (LTC)، خازن پست و تنظیم کنترلر محلی به منظور کاهش تلفات در شبکه های توزیع ترکیب شده است.

محققان زیادی مسئله کنترل ولت-وار در شبکه های توزیع را مورد مطالعه قرار داده اند اما در بیشتر آنها، اثرات DG ها روی عملکرد سیستم توزیع و کنترل ولت-وار در نظر گرفته نشده است. مراجع [۱۳] و [۱۴] در بررسی هایشان به مسئله کنترل ولت-وار در حضور DG پرداخته اند.

مرجع [۱۳] ایده ای اصلی را مالکیت خصوصی DG ها بعلاوه تجدید ساختار و خصوصی سازی در سیستم های قدرت بر Sherman و یک رویکرد برای کنترل ولت-وار روزانه در شبکه های توزیع در حضور DG ها بر اساس سود اقتصادی تولید کننده ها ارائه داده است. در واقع از یک متداوله ای بر اساس هزینه به عنوان یک سیگنال مناسب برای تشویق مالکان DG در تولید توان راکتیو استفاده شده است. تابع هدف به صورت مجموع انحرافات ولتاژ و هزینه مربوط به توان راکتیو تولید شده بوسیله DG ها و خازن ها و همچنین تلفات در یک روز وزن دهی شده است. نوع DG ها، ژنراتور سنکرون در نظر گرفته شده که توان اکتیو آن توسط اپراتور تنظیم و توان راکتیو آن به عنوان یکی از متغیرهای کنترل در نظر گرفته شده است. در این مدل که بر اساس اصل ماکریم کردن درآمد است فقط هزینه تولید توان راکتیو توسط خازن ها و DG ها در نظر گرفته شده و هزینه های مربوط به ترانسفورمرها که از دیگر ادوات کنترل در مسئله کنترل ولت-وار هستند در تابع هدف در نظر گرفته نشده است. ماکریم مجاز عملکرد روزانه تپ چنجرها به عنوان محدودیت های اضافی در نظر گرفته شده است.

در [۱۴] ایده اصلی، اتصال تولیدات پاک پراکنده به شبکه های توزیع است. از آنجایی که توان تولیدی این منابع متأثر از شرایط جوی است بنابراین هنگامی که این تولیدات با تکنیک

$$Z = (Z_T + Z_L)/a \quad (4)$$

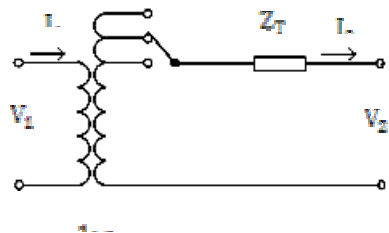
$$Y_m = a(a-1)/(Z_T + Z_L)$$

$$Y_n = (1-a)/(Z_T + Z_L)$$

## ۲-۲ - مدل خازن (SC)

خازن به صورت یک منبع توان راکتیو با چندین پله در نظر گرفته می شود که توسط معادله (۵) مدل می شود.

$$Y_t = j \frac{Q_t}{|V|^2} \quad (5)$$



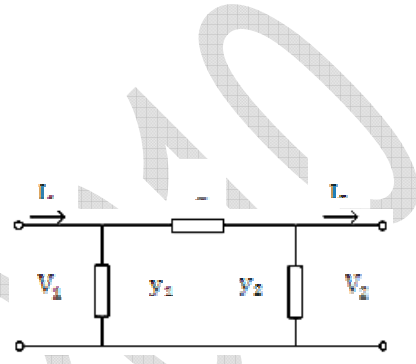
شکل(۱) مدل LTC

## ۳-۲ - مدل خازن سوییج شونده با تریستور (TSC)

وسیله ای است با سرعت به اندازه کافی بالا، برای کنترل توان راکتیو در سیستم های قدرت که قادر به پاسخگویی به نوسانات عمیق ولتاژ ایجاد شده تولید پراکنده است. TSC در معادلات پخش بار به عنوان یک منبع توان راکتیو مدل می شود.

## ۴-۲ - مدل تولید پراکنده (DG)

بهره برداری سیستم ژنراتور توربین باد که معمولاً از نوع ژنراتور القایی است، کاملاً متفاوت است نسبت به تکنولوژی های دیگر که در آنها مبدل های الکترونیک قدرت به کار برد می شود. بطوریکه سیستم ژنراتور توان راکتیو با شبکه عرضه می کند که پشتیبانی توان راکتیو بوسیله شبکه یا هر منبع توان راکتیو محلی فراهم شود. پس ژنراتورهای القایی برای بهره برداری نیاز به پشتیبانی توان راکتیو دارند [۱۵]. بنابراین برای مسئله کنترل ولت-وار سیستم های توزیع، توان راکتیو مورد نیاز ژنراتورهای القایی نیز باید همzمان در نظر گرفته شود. DG به صورت یک بار با ضریب توان ثابت در نظر گرفته شده است. این رفتار متمایز سیستم ژنراتور توربین باد مسئله را نسبت به تکنولوژی های دیگر DG پیچیده تر می کند.



شکل(۲) مدار معادل LTC

در این مدل فرض بر این است که نسبت دور سیم پیچی ترانسفورمر،  $a$ ، برای نسبت تبدیل استاندارد است. بنابراین ارتباط بین ولتاژ اولیه  $V_1$  و جریان  $I_1$  با ولتاژ ثانویه  $V_2$  و جریان  $I_2$  به صورت معادله (۱) است.

$$\begin{bmatrix} V_2 \\ I_2 \end{bmatrix} = \begin{bmatrix} a & -(1/a)Z_T \\ 0 & 1/a \end{bmatrix} \begin{bmatrix} V_1 \\ I_1 \end{bmatrix} \quad (1)$$

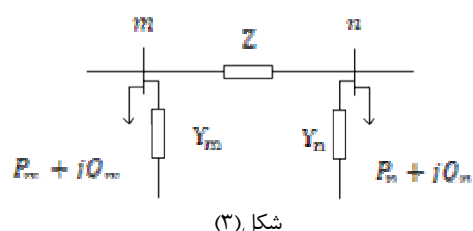
ارتباط بین خروجی و ورودی عبارت ولتاژ جریان در مدار معادلی که در شکل (۲) نشان داده شده به صورت معادله (۲) است.

$$\begin{bmatrix} V_2 \\ I_2 \end{bmatrix} = \begin{bmatrix} 1 + zy_1 & -z \\ -(y_1 + y_2 + y_1 y_2 z) & 1 + zy_2 \end{bmatrix} \begin{bmatrix} V_1 \\ I_1 \end{bmatrix} \quad (2)$$

با انجام محاسبات، امپدانس LTC که به صورت مدار معادل آن در شکل (۲) نشان داده شد، بیان می شود و مقدار هر عنصر آن به صورت معادله (۳) محاسبه می شود.

$$z = Z_T/a, y_1 = a(a-1)/Z_T, y_2 = (1-a)/Z_T \quad (3)$$

این مدار معادل با امپدانس خط  $Z_L$ ، که بین بس  $m$  و بس  $n$  قرار دارد سری می شود و با تبدیل ستاره به مثلث مدار معادل به صورت شکل (۳) و مقادیر مدار معادل توسط معادله (۴) به دست می آید.



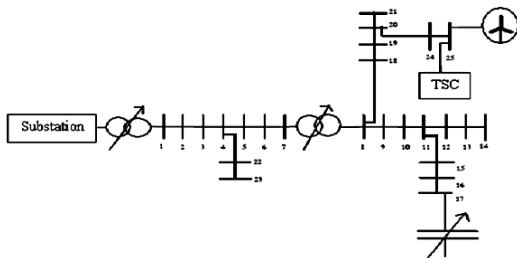
شکل(۳)

## ۵-۲ - مدل ریاضی طرح کنترل بهینه

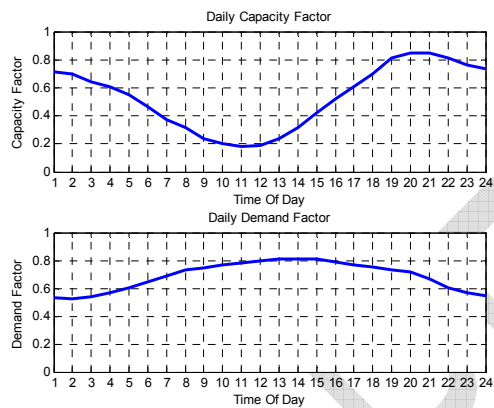
هدف اصلی از مسئله  $VVC$  در شبکه های توزیع مدرن بهبود پروفیل ولتاژ است و تلفات توان راکتیو کل شبکه توزیع نیز در نظر گرفته می شود. اما این مدل ممکن است ادوات کنترلی را وادار به عملکرد اضافی در کاربردهای زمان واقعی کند و مهم تر، محدودیت رنج تغییر در تنظیم ادوات است. به عبارت دیگر  $VVC$

### ۳- نتایج

در این بخش تکنیک ارائه شده برای کنترل ولت-وار روزانه روی یک شبکه توزیع ساعی ۲۵ باس که در شکل (۵) نشان داده شده به کار برده شده است. مشخصات این شبکه در مرجع [۱۵] آورده شده است. منحنی ظرفیت روزانه توربین باد و منحنی روزانه تقاضا در شکل (۶) نشان داده شده است.



شکل (۵) شبکه توزیع ساعی ۲۵ باس



شکل (۶) منحنی روزانه ظرفیت توربین باد و تقاضای سیستم

فرض شده که یک DG با ظرفیت  $0.070PU$  و همچنین یک TSC با ظرفیت  $0.0350PU$  به منظور جبرانسازی سریع به باس ۲۵ و یک بانک خازنی با ظرفیت  $0.0060PU$  به باس ۱۷ متصل شده است. تغییر تپ LTC در ترانسفورمر پست ULTC و رگولاتور ولتاژ پله ای SVR فیدر به صورت پنج تپ  $0.020PU$  از  $1.040PU$  تا  $0.940PU$  در نظر گرفته شده است. رگولاتور ولتاژ پله ای بین باس های ۷ و ۸ قرار دارد.

تپ SC, SVR و خروجی TSC به عنوان متغیرهای حالت در هر ساعت و بنابراین برای کنترل ولت-وار روزانه تعداد ۹۶ متغیر حالت در نظر گرفته شد. یک جمعیت متشکل از ۵۰ کروموزوم که هر کروموزوم از ۹۶ ژن و طول هر ژن ۸ بیت در نظر گرفته شد. منحنی بهینگی پارتی بعد از ۴۰۰۰ تکرار به صورت شکل (۷) به دست آمد. مجموعه جواب های بدست آمده شامل ۷ جواب است.

برای بهبود پروفیل ولتاژ و کاهش تلفات توان بر حسب تعداد عملکرد سوییچینگ ادوات کنترل است و این همان نیاز برای رسیدن به هدف با تعداد مینیمم عمل های کنترل است که از اهداف ثانویه VVC است. اما وقتی عمل های کنترل جزئی از تابع هدف قرار گیرند ممکن است با اهداف دیگر در تضاد باشد و بهینه سازی یک راه حل خاص نسبت به یک هدف واحد می تواند باعث نتایج غیر قابل قبول نسبت به اهداف دیگر شود. بنابراین باید از بهینه سازی چند هدفی استفاده نمود. یک راه حل قابل قبول برای مسائل با چند هدف، رسیدگی به یک مجموعه از جواب ها است، هر کدام که اهداف را در یک سطح قابل قبول نگه دارد بدون اینکه تحت تسلط مجموعه از جواب ها باشد [۱۶]. در این مسئله نیز  $F_1$  (تلفات و پروفیل ولتاژ) و  $F_2$  (تعداد عمل های کنترل) در تضاد با هم هستند. یک انتخاب، حل بهینه این مسئله با استفاده از الگوریتم زنگی MG است.

تابع هدف در مسئله کنترل ولت-وار باید به صورت مجموعه معادلات (۶) توسعه پیدا کند.

$$F_2 = \sum_{t=1}^{24} \left[ \alpha_1 \sum_{i=1}^{n_b} \frac{P_{i,t,z}}{P_{i,t,z}^{\max}} + \alpha_2 \sum_{i=1}^n \frac{|V_i - V_{ref}|}{V_{ref}} \right] \quad (6)$$

$$F_1 = \sum_{t=1}^{24} \left[ \beta_1 \sum_{j=1}^{n_c} \frac{|tap_{cj}^t - tap_{cj}^{t-1}|}{tap_{cj}^{\max}} + \beta_2 \sum_{k=1}^{n_t} \frac{|tap_{tk}^t - tap_{tk}^{t-1}|}{tap_{tk}^{\max}} \right]$$

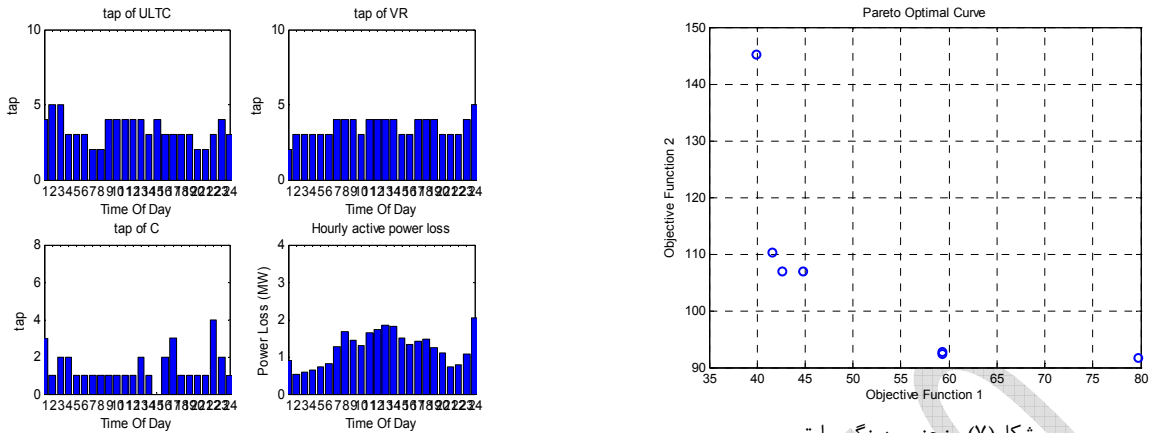
$$\sum_{t=1}^{24} |tap_{tk}^t - tap_{tk}^{t-1}| \leq MADOT_k, \\ tap_{tk}^{\min} \leq tap_{tk} \leq tap_{tk}^{\max} \text{ for } k = 1, \dots, n_t$$

$$\sum_{t=1}^{24} |tap_{cj}^t - tap_{cj}^{t-1}| \leq MADOT_c, \\ tap_{cj}^{\min} \leq tap_{cj} \leq tap_{cj}^{\max} \text{ for } j = 1, \dots, n_c$$

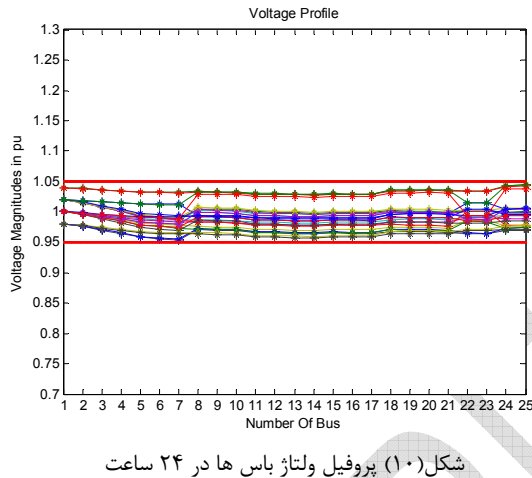
$$V_i^{\min} \leq V_i \leq V_i^{\max} \text{ for } i = 1, \dots, n$$

که در آن  $n$  تعداد باس ها،  $n_b$  تعداد شاخه ها،  $n_t$  تعداد خازن ها،  $n_c$  تعداد ترانسفورمرها،  $\alpha_1, \alpha_2, \beta_1, \beta_2$  ضرایب وزنی هر هدف، MADOT<sub>c</sub> تپ خازن  $j$  ام،  $tap_{cj}$  تپ ترانسفورمر  $k$  ام،  $V_i$  ولتاژ باس  $i$  ام و  $F_1$  و  $F_2$  توابع هدف هستند. به منظور تعادل کافی بین اهداف در هر یک از توابع هدف، ضرایب وزنی به صورت معادله (۷) در نظر گرفته شده است.

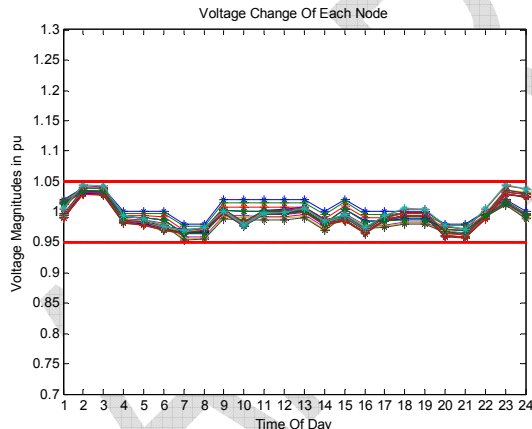
$$\alpha_1 = 10.0, \alpha_2 = 1.0, \beta_1 = 3.0, \beta_2 = 6.0 \quad (7)$$



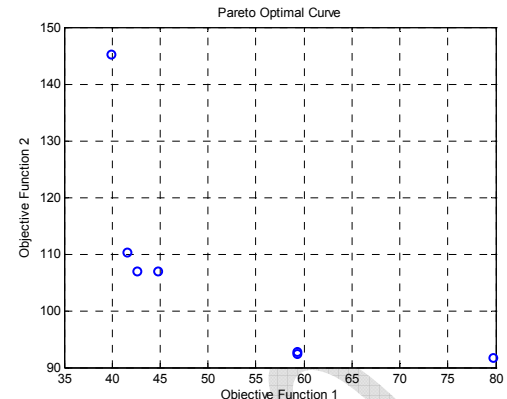
شکل (۹) تغییرات تپ ادوات کنترلی و تلفات در یک روز برای جواب بهینه



شکل (۱۰) پروفیل ولتاژ باس ها در ۲۴ ساعت

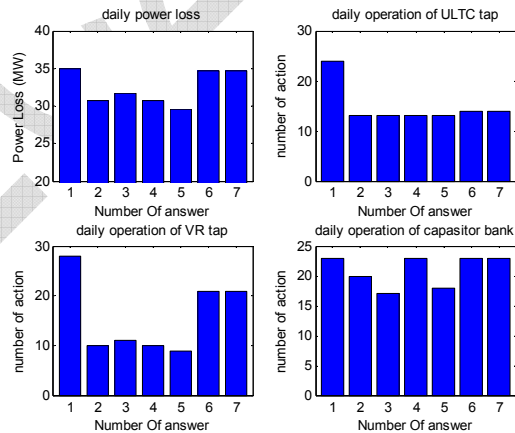


شکل (۱۱) تغییرات ولتاژ باس ها



شکل (۷) منحنی بهینگی پارتو

نتایج نشان می دهد که برای مجموعه جواب ها پروفیل ولتاژ در مقابل تغییرات شدید ولتاژ حاشیه امنی دارد. بنابراین بهره بردار می تواند از بین این مجموعه جواب، جواب با کمترین هزینه را انتخاب کند. یعنی جوابی باید انتخاب شود که مجموع هزینه تلفات و هزینه سوییچینگ تجهیزات در یک روز کمترین مقدار ممکن شود. برای مجموعه جواب، تلفات روزانه و تعداد عملکرد روزانه سوییچینگ ادوات در شکل (۸) آورده شده است.



شکل (۸) تعداد عملکرد روزانه تجهیزات و تلفات روزانه برای مجموعه جواب ها همانطور که از شکل (۸) مشخص است بهترین جواب، جواب شماره ۵ است که برای این جواب منحنی های تغییرات روزانه تپ و منحنی تلفات روزانه در شکل (۹) آورده شده است. برای این حالت پروفیل ولتاژ و همچنین منحنی تغییرات ولتاژ نیز به ترتیب در شکل های (۱۰) و (۱۱) نشان داده شده است.

#### ۴ - نتیجه‌گیری

کنترل ولت-وار یکی از مهمترین طرح های کنترل در یک پست توزیع است که می تواند تحت تاثیر تولیدات پراکنده، که بعضی توان تولیدی آنها متغیر است، قرار بگیرد. تغییرات توان تولیدی این منابع، همچنین تنوع شرایط بهره برداری، تغییرات تند ولتاژ باس ها را در پی دارد. از آنجایی که با افزودن پروفیل

- [۱۵] K. V. Kumar, M. P. Selvan, "A simplified approach for load flow analysis of radial distribution network with embedded generation," *IEEE Region ۱۰ Conference*, ۱۹-۲۱ Nov. ۲۰۰۸ Page(s): ۱ - ۶
- [۱۶] A. Konak, D.W. Coit, A.E. Smith, "Multi-objective optimization using genetic algorithms: A tutorial", *Reliability Engineering & System Safety*, Volume ۹۱, Issue ۱, September ۲۰۰۶, Pages ۹۹۲-۱۰۰۷

ولتاژ به تابع هدف کنترل ولت-وار، ممکن است این مدل باعث عملکرد بیش از حد ادوات کنترل شود، نیاز برای رسیدن به هدف با تعداد مینیمم عمل های کنترل، که خود از اهداف ثانویه کنترل ولت-وار است، ایجاد می شود. نتایج شبیه سازی نشان می دهد که در مجموعه جواب های به دست آمده از الگوریتم ژنتیک چند هدفه، حاشیه ولتاژ در مقابل تغییرات عمیق ولتاژ امن خواهد بود و بهره بردار می تواند از آنها بر اساس اصل ماکریزم کردن درآمد، جواب با کمترین هزینه را انتخاب کند.

## مراجع

- [۱] I.Roytelman and V. Ganesan, "Coordinated local and centralized control in distribution management systems", *IEEE Trans. On Power Delivery*, vol. ۱۰, No. ۲, pp. ۷۱۸-۷۲۴, April ۲۰۰۵.
- [۲] N.I. Santoso and T. Tan, "Neural-net based real-time control of capacitors installed on distribution systems" *IEEE Trans. Power Delivery*, vol. ۹, no. ۱, Jan. ۱۹۹۰, pp. ۲۶۷-۷۲.
- [۳] Y.Y. Hsu and H.C. Kuo, "Dispatch of capacitors on distribution system using dynamic programming" *IEE Proceedings, Part C*, Vol. ۱۴۰, No. ۱, November ۱۹۹۳, pp. ۴۳۲-۴۲۸.
- [۴] Y. Y. Hsu and C. C. Yang, "A hybrid artificial neural network-dynamic programming approach for feeder capacitor scheduling" *IEEE Trans. Power systems*, vol. ۹, no. ۲, May, ۱۹۹۴, pp. ۱۰۶۹-۷۰.
- [۵] H. Dong Chiang, J. Cheng Wang, O. Cockings, and H.D. Shin, "Optimal Capacitor Placements In Distribution Systems: Part I: A New Formulation and Overall Problem", *IEEE Trans on Power Delivery*, Vol. ۵, No. ۲, April ۱۹۹۰, pp. ۶۳۴-۶۴۱.
- [۶] S. Sundliararajan and A. Pahwa, "Optimal selection of capacitors for radial distribution systems using a genetic algorithm" *IEEE Trans. on Power Systems*, Vol. ۹, NO. ۳, August ۱۹۹۴, pp. ۱۴۹۹-۱۵۰۷.
- [۷] J. C.Wang, H. D. Chiang, K. N. Miu, and G. Darling, "Capacitor placement and real time control in large-scale unbalanced distribution systems: Loss reduction formula, problem formulation, solution methodology and mathematical justification" *IEEE Trans. Power Del.*, vol. ۱۲, no. ۲, pp. ۹۰۳-۹۰۸, Apr. ۱۹۹۷.
- [۸] J.J. Paserba, D.J. Leonard, N.W. Miller, S.T. Naunian, M.G. Lauby, and F.P. Sener, "Coordination of a distribution level continuously controlled compensation device with existing substation equipment for long term VAR management" *IEEE Trans. on Power Delivery*, Vol. No. ۲, April ۱۹۹۴, pp. ۱۰۳۴-۱۰۴۱.
- [۹] F.C. Lu and Y.Y. Hsu, "Reactive power voltage control in a distribution substation using dynamic programming" *IEE Proceedings, Part C*, Vol. ۱۴۲, No. ۱, November ۱۹۹۵.
- [۱۰] Z. Gu and D. T. Rizy, "Neural networks for combined control of capacitor banks and voltage regulators in distribution systems" *IEEE Trans. Power Del.*, vol. ۱۱, no. ۴, pp. ۱۹۲۱-۱۹۲۸, Oct. ۱۹۹۶.
- [۱۱] R.-H. Liang and C.-K. Cheng, "Dispatch of main transformer ULTC and capacitors in a distribution system" *IEEE Trans. Power Delivery*, vol. ۱۶, pp. ۶۲۵-۶۳۰, Nov. ۲۰۰۱.
- [۱۲] T.Niknam, A.M. Ranjbar and A.R. Shirani, "Impact of distributed generation on Volt/Var control in distribution networks", ۲۰۰۳ IEEE Bologna Power Tech conference proceedings, vol.۳, pp. ۱-۶, June ۲۰۰۳.
- [۱۳] J. Olamaie, T. Niknam, "Daily Volt/Var control in distribution networks with regard to DGs: a comparison of evolutionary methods", IEEE ۲۰۰۶ Conference , Page(s): ۱ pp
- [۱۴] T. Senju, Y. Miyazato, A. Yoga, N. Urasaki, T. Funabashi, "Optimal Distribution Voltage Control and Coordination With Distributed Generation", *IEEE Trans. On Power Delivery*, April ۲۰۰۸ Page(s): ۱۲۳۶ – ۱۲۴۲